

ПЕТРОЛОГИЯ, часть 2. Магматизм

Лекция 2. Кристаллизация многокомпонентных расплавов

Физико-химические основы кристаллизации магматических расплавов. Понятия ликвидуса, солидуса, затектики, эвтектики. Псевдоликвидусные температуры, влияние летучих компонентов и давления на температуры кристаллизации. Равновесная и фракционная кристаллизация, понятие кристаллизационной дифференциации. Кристаллизационные ряды Боуэна, их область применимости. Процессы ликвации и смешения магм, их петрологические признаки. Примеры гибридных пород.

каф.петрологии

Геологический факультет МГУ

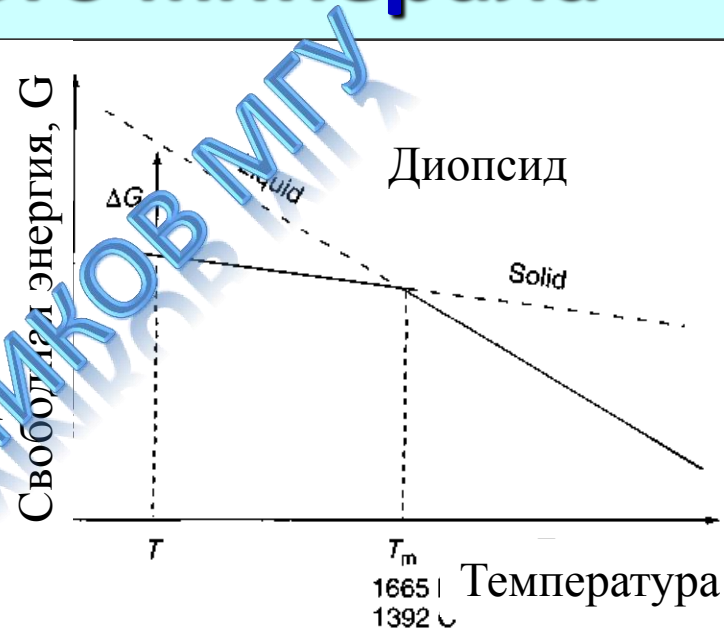
2013

Кристаллизация одного минерала

Диопсид – $\text{CaMgSi}_2\text{O}_6$

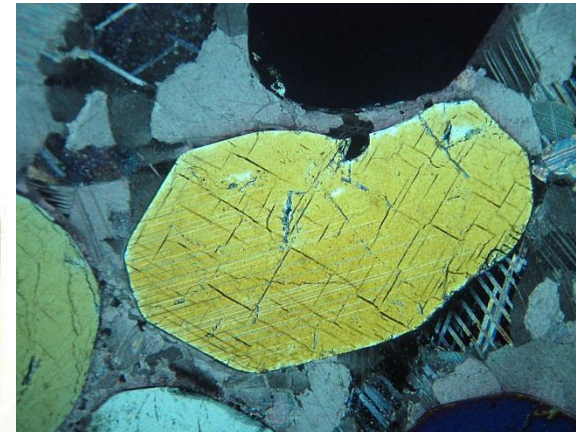
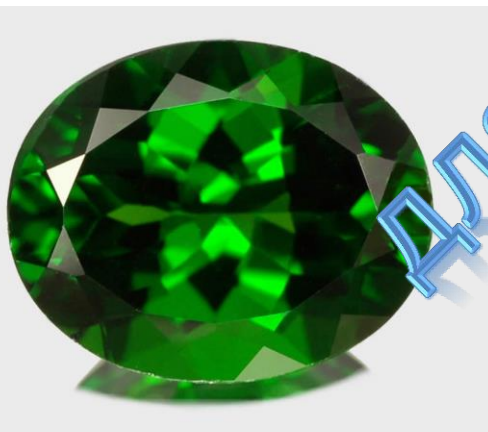
Температура плавления
чистого диопсида (T_m) 1392 С

Энталпия плавления (H_m) 142,6 КJ/mol



$$\frac{\partial G}{\partial T}$$

Отрицательные и для расплава и для минерала,
для минерала наклон меньше



Кристаллизация одного минерала

Запишем реакцию кристаллизации:



Условие химического равновесия – равенство химических потенциалов:

$$\mu_{Di}^S = \mu_{Di}^L = \mu_{Di}^{cL} + RT \ln(x_{Di}^L)$$

Перегруппируем:

$$RT \ln(x_{Di}^L) = \mu_{Di}^S - \mu_{Di}^{cL} = -\Delta G_r = -\Delta H_m + T \Delta S_m$$

Отсюда:

$$\ln(x_{Di}^L) = \frac{-\Delta H_m}{RT} + \frac{\Delta S_m}{R} \quad \text{или}$$

$$T = \frac{\Delta H_m}{\Delta S_m - R \ln(x_{Di}^L)}$$

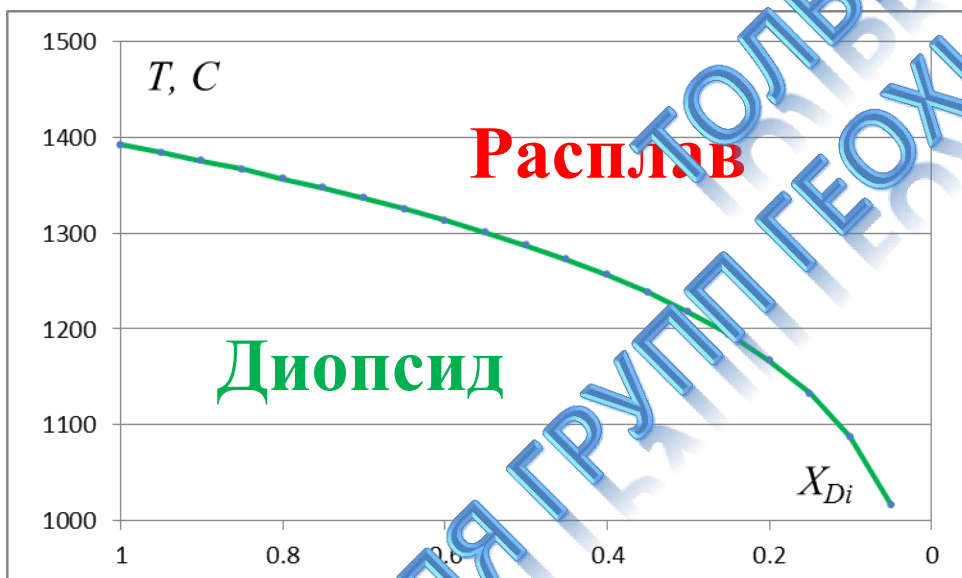
Равновесие диопсида с идеальным расплавом

$$\Delta H_m = 142600 \text{ J/mol}$$

$$T_m = 1392 + 273 = 1665 \text{ K}$$

$$\Delta S_m = \Delta H_m / T_m = 85.6456 \text{ J/mol*K}$$

$$R = 8.3144621 \text{ J/mol*K}$$



$X(Di)L$	T, K	T, C
1	1665.0	1392.0
0.95	1656.8	1383.8
0.9	1648.1	1375.1
0.85	1639.1	1366.1
0.8	1629.7	1356.7
0.75	1619.8	1346.8
0.7	1609.3	1336.3
0.65	1598.2	1325.2
0.6	1586.3	1313.3
0.55	1573.7	1300.7
0.5	1560.0	1287.0
0.45	1545.2	1272.2
0.4	1529.0	1256.0
0.35	1511.0	1238.0
0.3	1490.8	1217.8
0.25	1467.5	1194.5
0.2	1440.0	1167.0
0.15	1406.0	1133.0
0.1	1360.8	1087.8
0.05	1289.9	1016.9

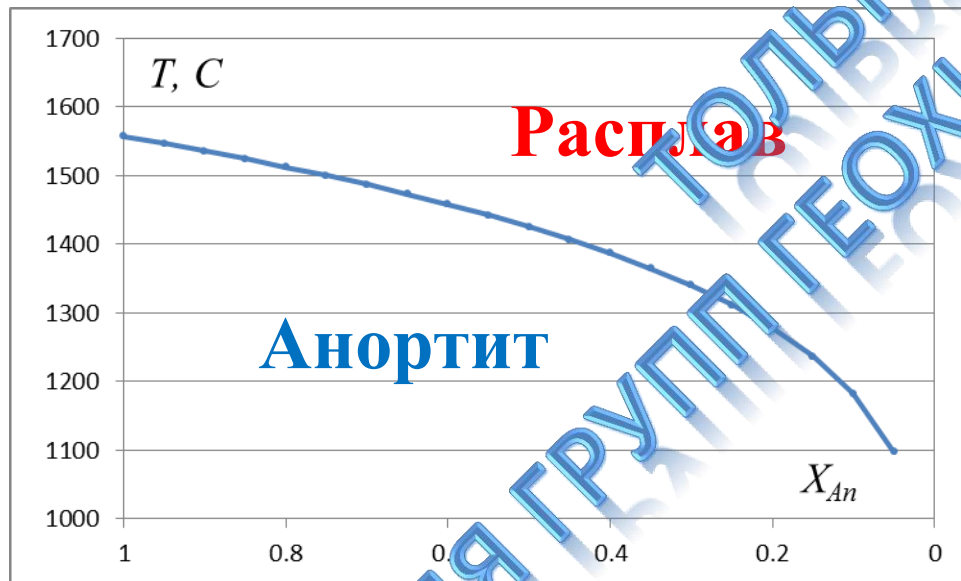
Равновесие анортита с идеальным расплавом

$$\Delta H_m = 136000 \text{ J/mol}$$

$$T_m = 1830 \text{ K}$$

$$\Delta S_m = 74.317 \text{ J/mol*K}$$

$$R = 8.3144621 \text{ J/mol*K}$$



ДЛЯ ГРУППЫ ГЕОХИМИКОВ МГУ

$X(\text{An})\text{L}$	$T, \text{ K}$	$T, \text{ C}$
1	1830.0	1557.0
0.95	1819.6	1546.6
0.9	1808.7	1535.7
0.85	1797.3	1524.3
0.8	1785.4	1512.4
0.75	1772.9	1499.9
0.7	1759.8	1486.8
0.65	1745.9	1472.9
0.6	1731.1	1458.1
0.55	1715.3	1442.3
0.5	1698.3	1425.3
0.45	1679.9	1406.9
0.4	1659.8	1386.8
0.35	1637.7	1364.7
0.3	1612.8	1339.8
0.25	1584.3	1311.3
0.2	1550.8	1277.8
0.15	1509.6	1236.6
0.1	1455.1	1182.1
0.05	1370.6	1097.6

Бинарная система Диопсид-Анортит

$$x_{Di} + x_{An} = 1$$

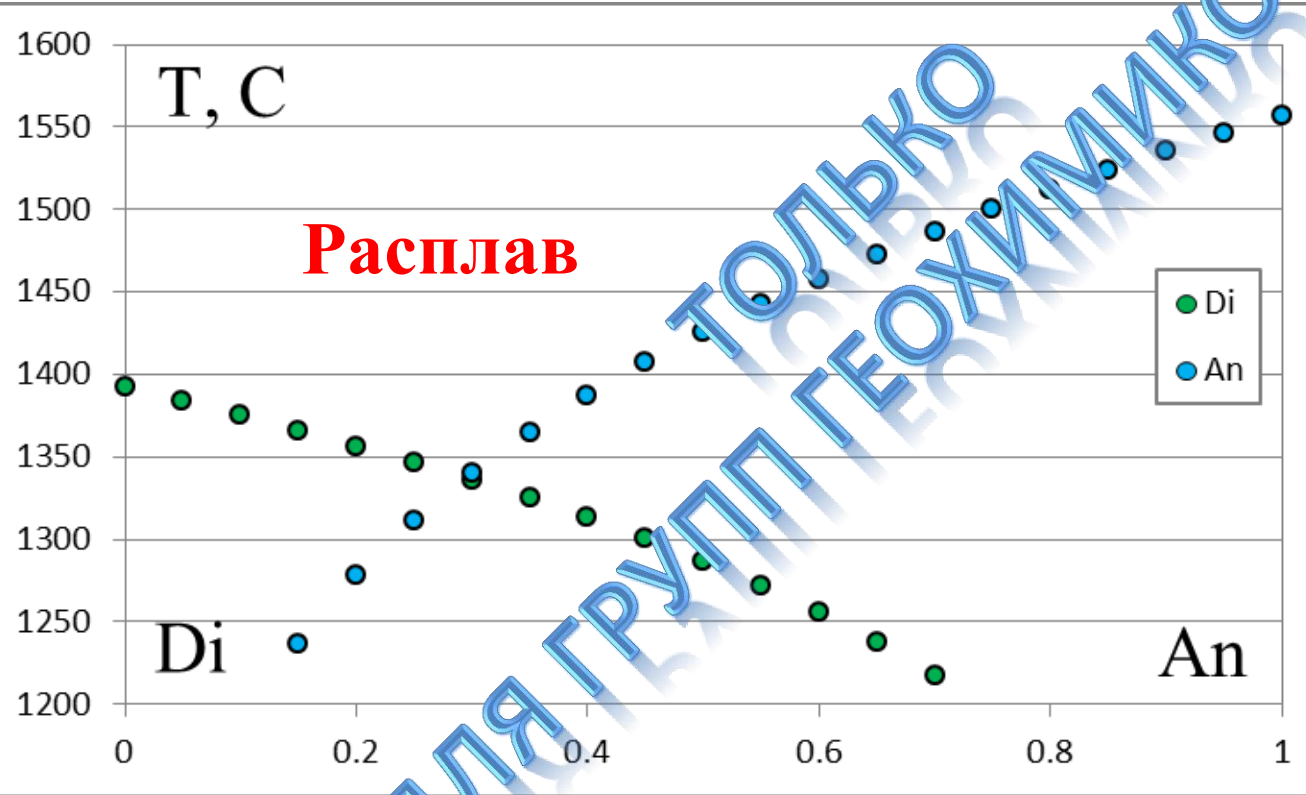


Диаграмма построена в мол. долях

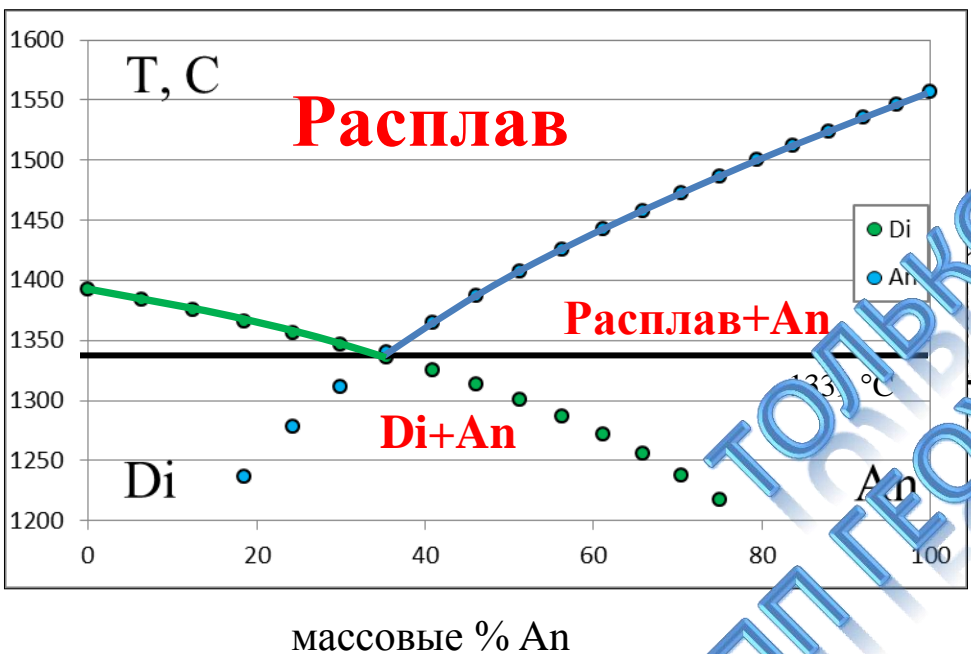
Диопсид:
 $\text{CaMgSi}_2\text{O}_6$

Анортит:
 $\text{CaAl}_2\text{Si}_2\text{O}_8$

Молекулярная масса:

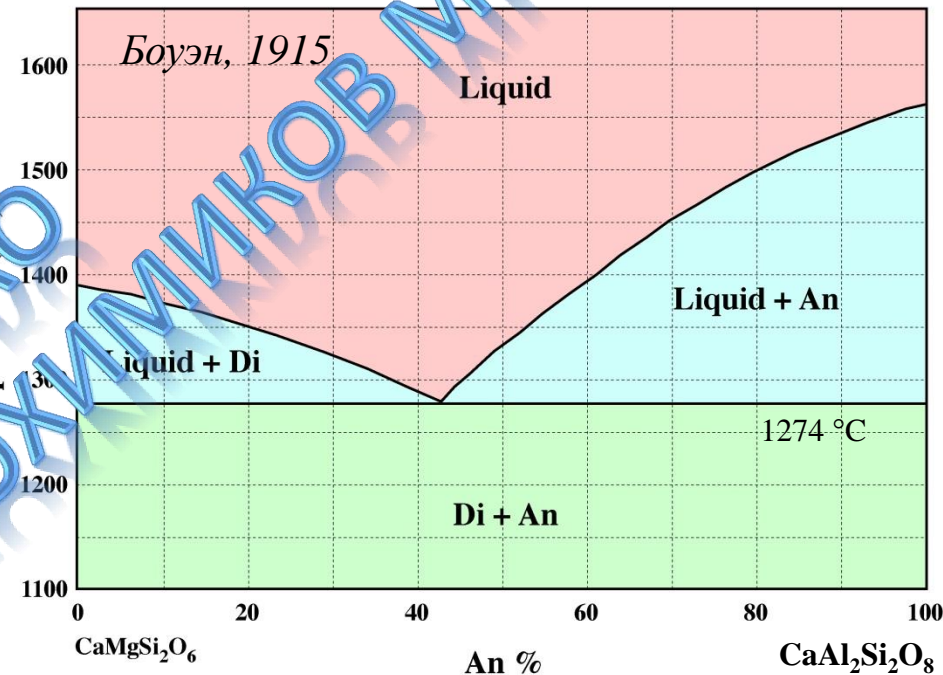
Di = 216.6
An=278.2

Бинарная система Диопсид-Анортит



Расчетная диаграмма плавкости Di-An

$$T = \frac{\Delta H_m}{\Delta S_m - R \ln(x_S^L)}$$



Экспериментальная диаграмма Di-An

$$T = \frac{\Delta H_m}{\Delta S_m - R \ln(\gamma x_S^L)}$$

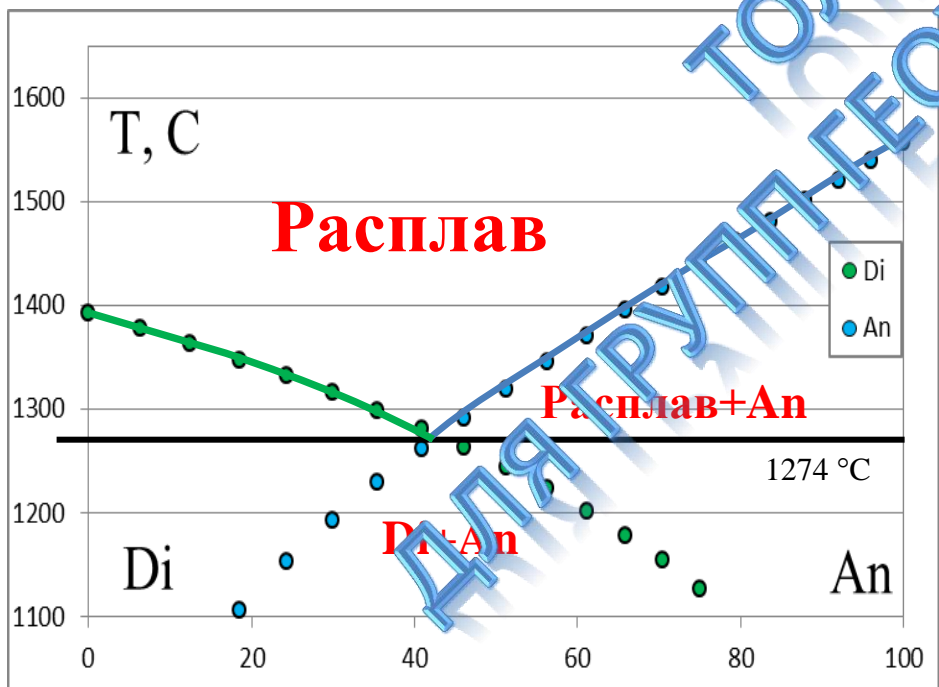
Оценка коэффициента активности

$$T = \frac{\Delta H_m}{\Delta S_m - R \ln(\gamma x_S^L)}$$

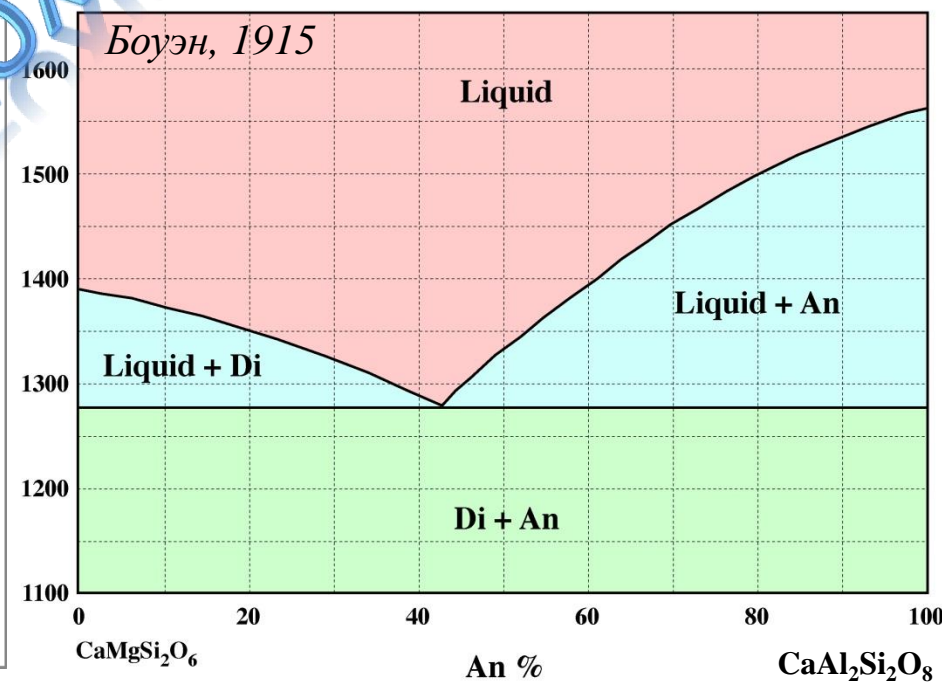
$$\ln(\gamma x_S^L) = -\frac{\Delta H_m}{RT} + \frac{\Delta S_m}{R}$$

Для диопсида: $\gamma = 0.75 * x_{Di} + 0.25$

Для анортита: $\gamma = 0.75 * x_{An} + 0.25$

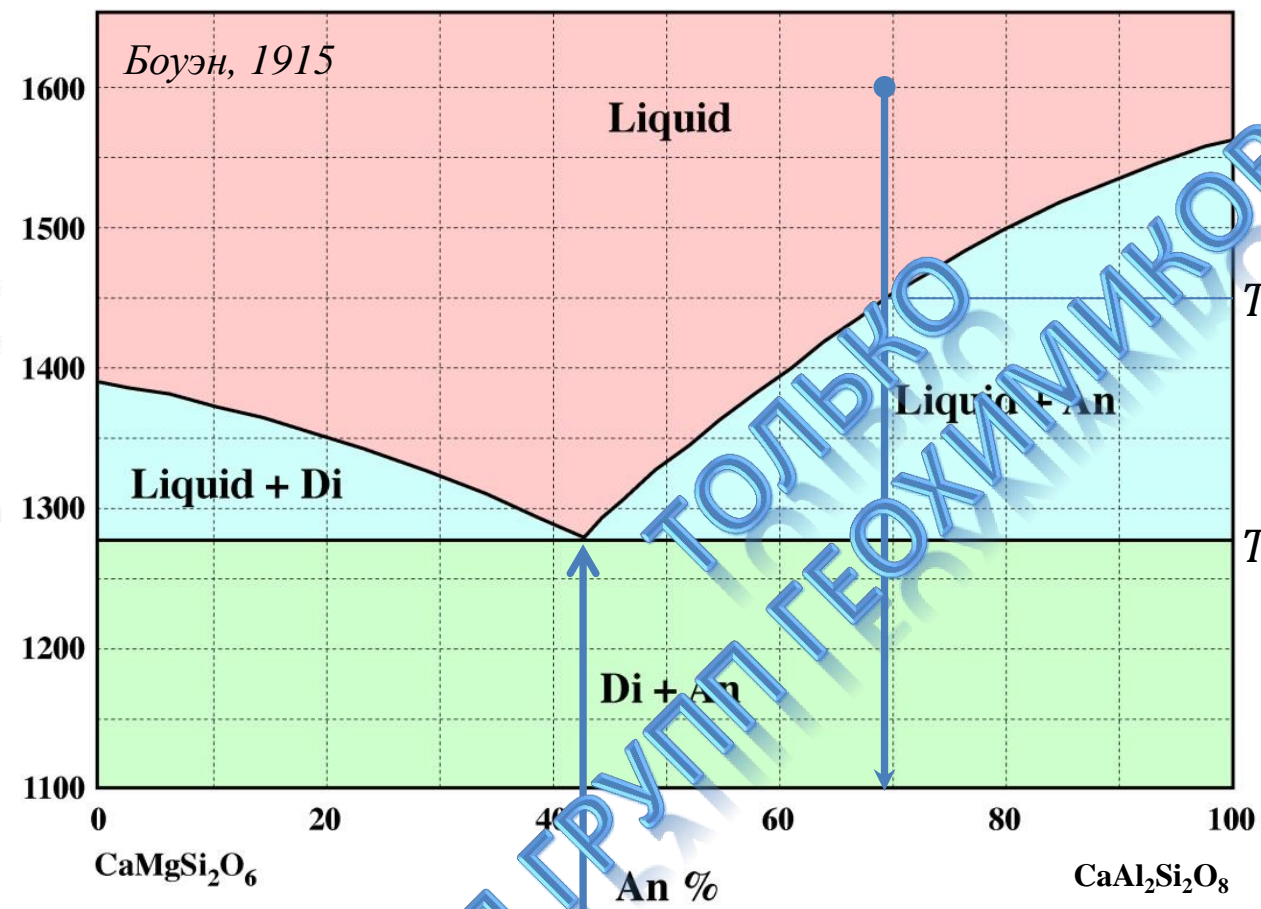


Расчетная диаграмма плавкости Di-An



Экспериментальная диаграмма Di-An

Основные линии и поля



Надликвидусная область
 T_L

Ликвидус

Субликвидус

Солидус

Субсолидус

ДЛЯ ГРУППЫ ГЕОХИМИКОВ МГУ
Толкунчиков ВМТУ

Эвтектика

Эффект давления

$$T = \frac{\Delta H_m + p\Delta V_m}{\Delta S_m - R \ln(\gamma x_S^L)}$$

преобразуем в:

$$T = T_{p_0} + p * k, \text{ где}$$

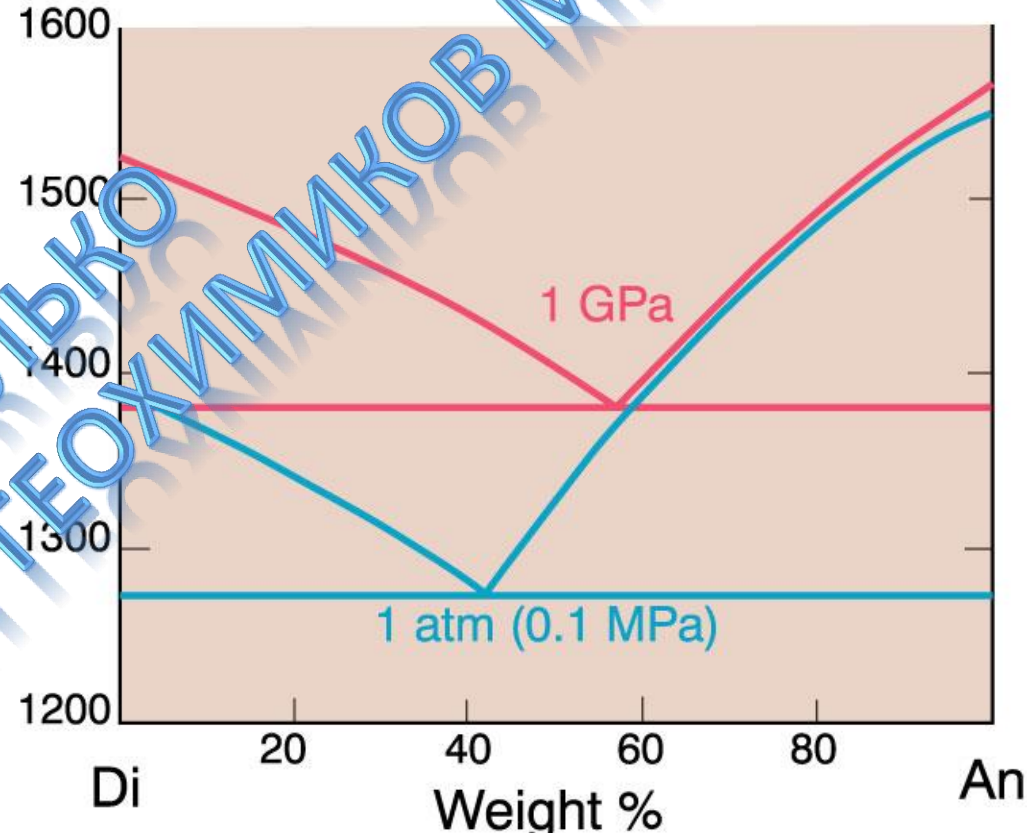
$$k = \frac{\Delta V_m}{\Delta S_m - R \ln(\gamma x_S^L)}$$

Для клинопироксена $k > 10^3 \text{ kbar}$

Для плагиоклаза $k < 2^2 \text{ kbar}$

$\Delta V_m (\text{Di}) = 12 \text{ см}^3/\text{моль}$

$\Delta V_m (\text{An}) = 2 \text{ см}^3/\text{моль}$



Система диопсид-анортит. Данные для 1 GPa Presnall *et al.* (1978). Contr. Min. Pet., 66, 203-220.

Эффект давления воды

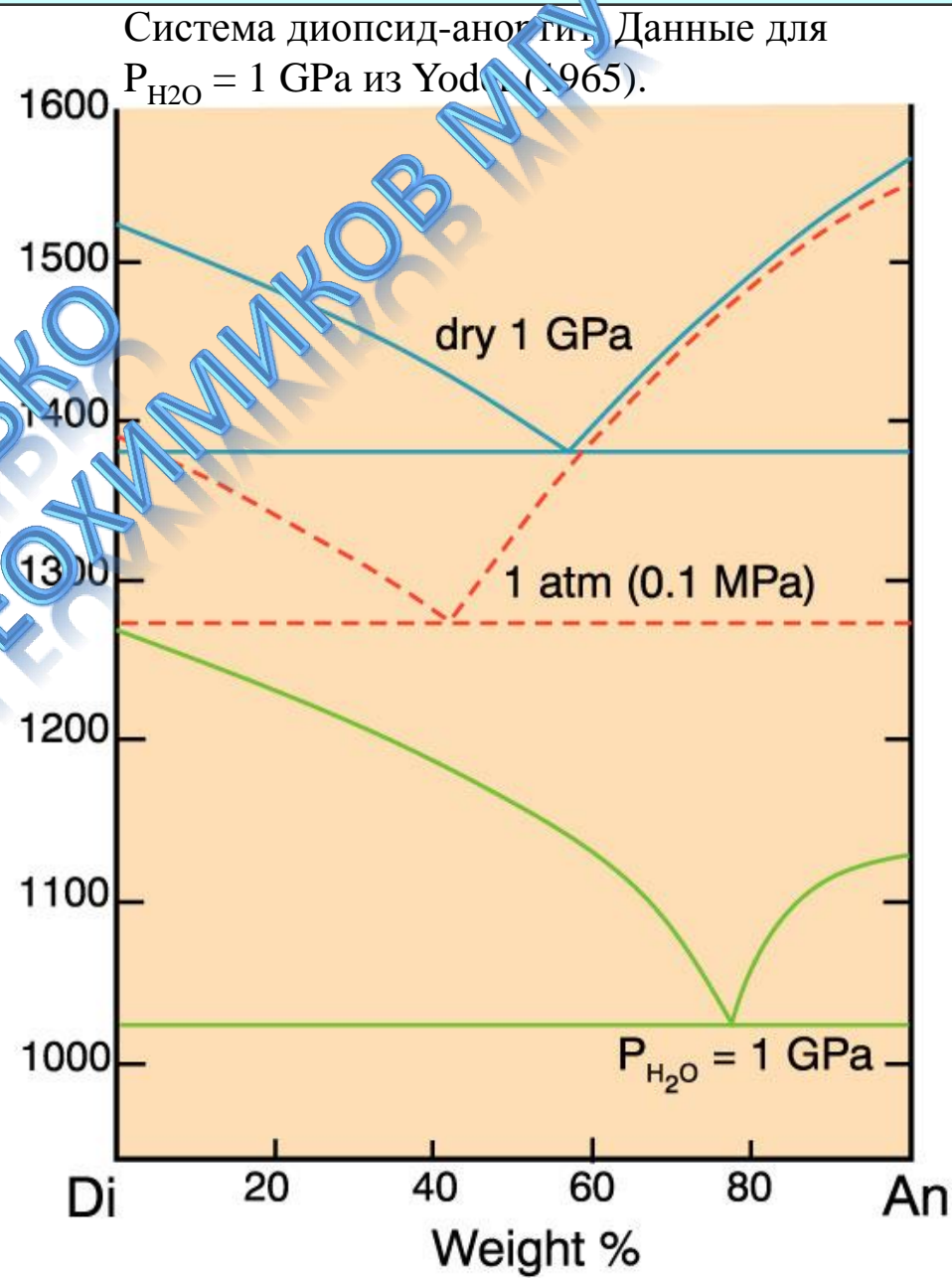
Растворенная в расплаве вода сильно понижает ликвидусные температуры

$$T = T_{p_0} + p_{H_2O} * w, \text{ где}$$

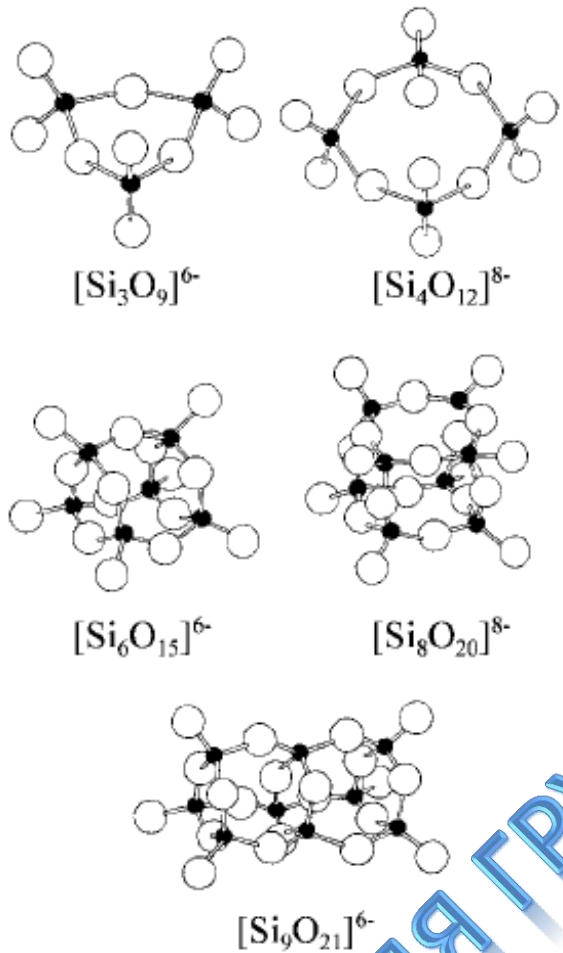
Для CPx $w \approx -15 \text{ K/kbar}$

Для Pl $w \approx -40-60 \text{ K/kbar}$

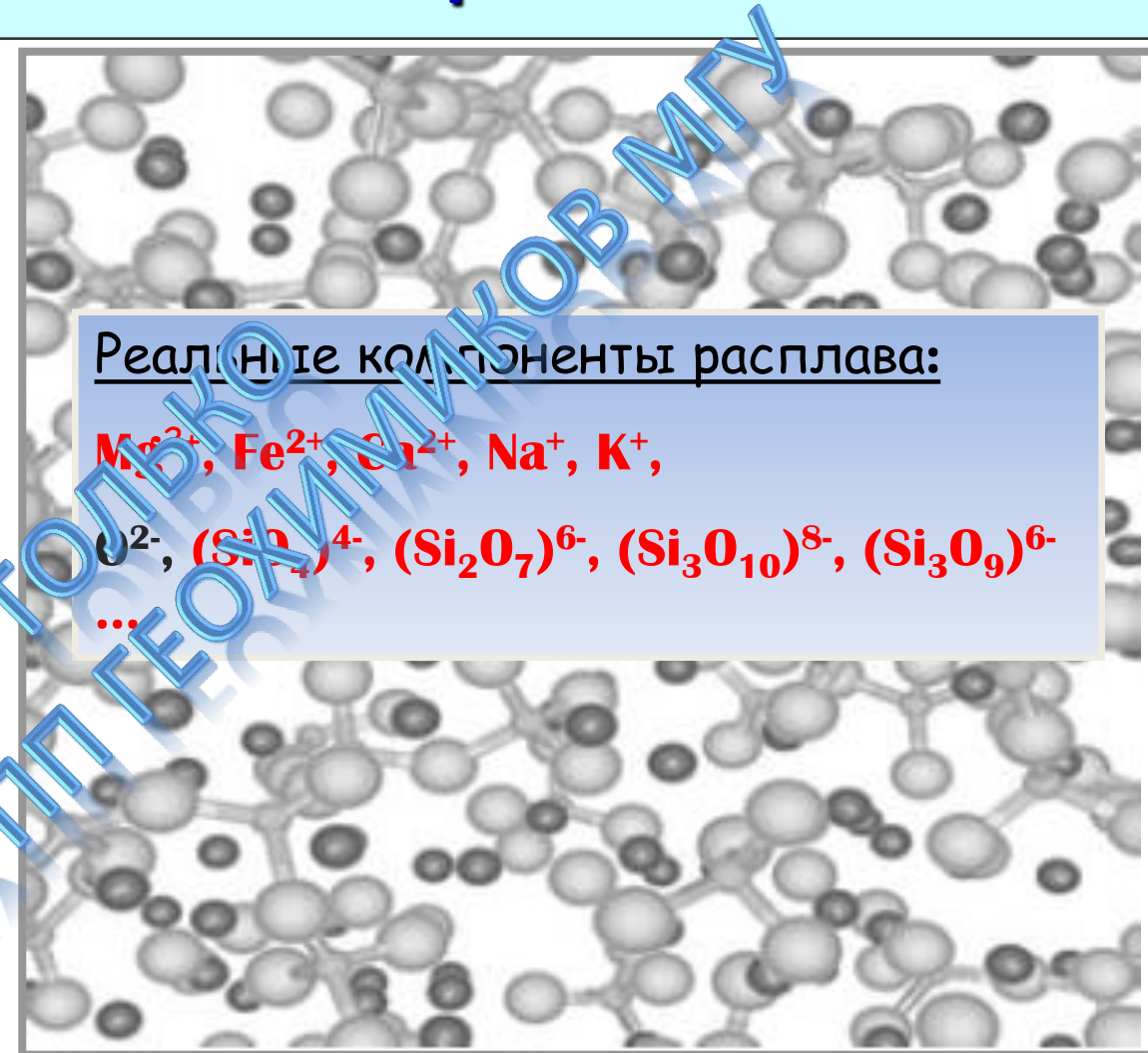
Вода влияет на активности компонентов в расплаве сложным образом и влияние воды на температуры ликвидуса не может быть описано линейным уравнением.



Строение силикатных расплавов



Простейшие ячейки
(Bockris, 1955)



Фрагмент структуры K₂SiO₃ при 2000 К
(O – крупные и Si – мелкие белые шары, K – темные шарики)

A Model of Magmatic Crystallization

J. Petrol. 19(1), 66–94 (1978)

by H. D. NATHAN* and C. K. VAN KIRK†

Department of Geology, and Computer Centre, Acadia University, Wolfville, Canada B0P 1X0

(Received 5 October 1976; in revised form 3 February 1977)

$$T = a_0 + a_1 \text{Al} + a_2 \text{Ti} + a_3 \text{Fe}^{+3} + a_4 \text{Fe}^{+2} + a_5 \text{Mg} + a_6 \text{Ca} + a_7 \text{Na} + a_8 \text{K} + a_9 (\log_e \text{H}) + a_{10} \sqrt[2]{\text{Al}(\text{Na} + \text{K})}$$

Mineral	H
Magnetite	$\sqrt[3]{(\text{Fe}^{+2})(\text{Fe}^{+3})^2}$
Olivine	$\sqrt[3]{(\text{Mg} + \text{Fe}^{+2})^2(\text{Si})}$
Hypersthene	$\sqrt[3]{(\text{Mg} + \text{Fe}^{+2})(\text{Si})}$
Augite	$\sqrt[3]{(\text{Ca})(\text{Mg} + \text{Fe}^{+2})(\text{Si})}$
Plagioclase	$\sqrt[3]{(\text{Na} + \text{Ca})(\text{Al})(\text{Si})}$
Orthoclase	$\sqrt[3]{(\text{K})(\text{Al})(\text{Si})}$
Leucite	$\sqrt[3]{(\text{K})(\text{Al})(\text{Si})^2}$
Nepheline	$\sqrt[3]{(\text{Na})(\text{Al})(\text{Si})}$

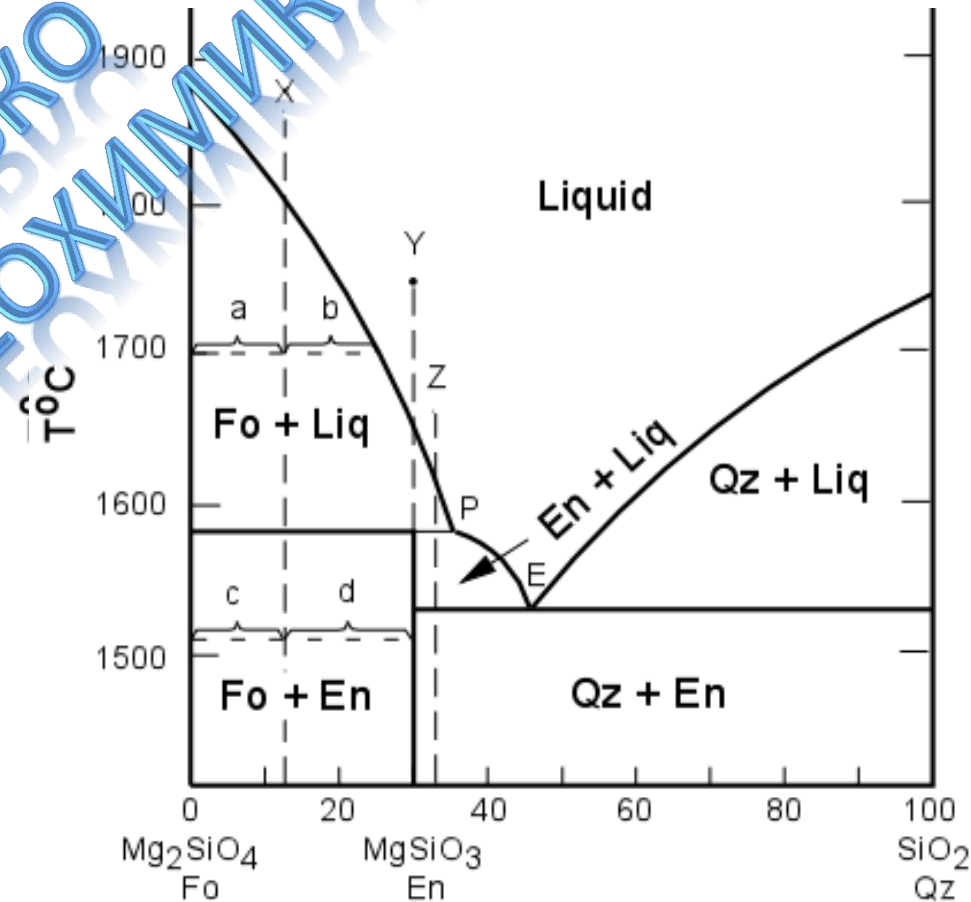
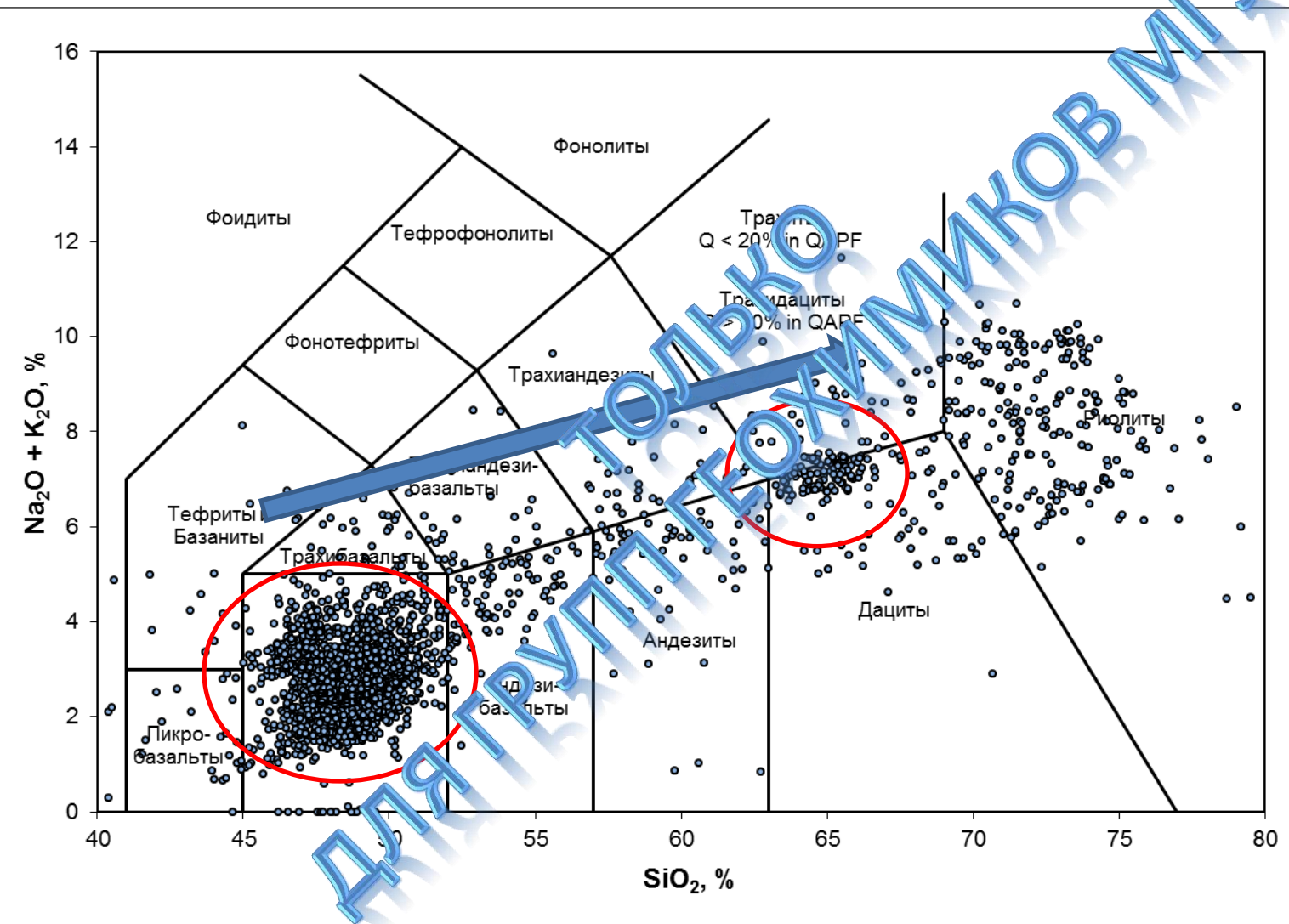


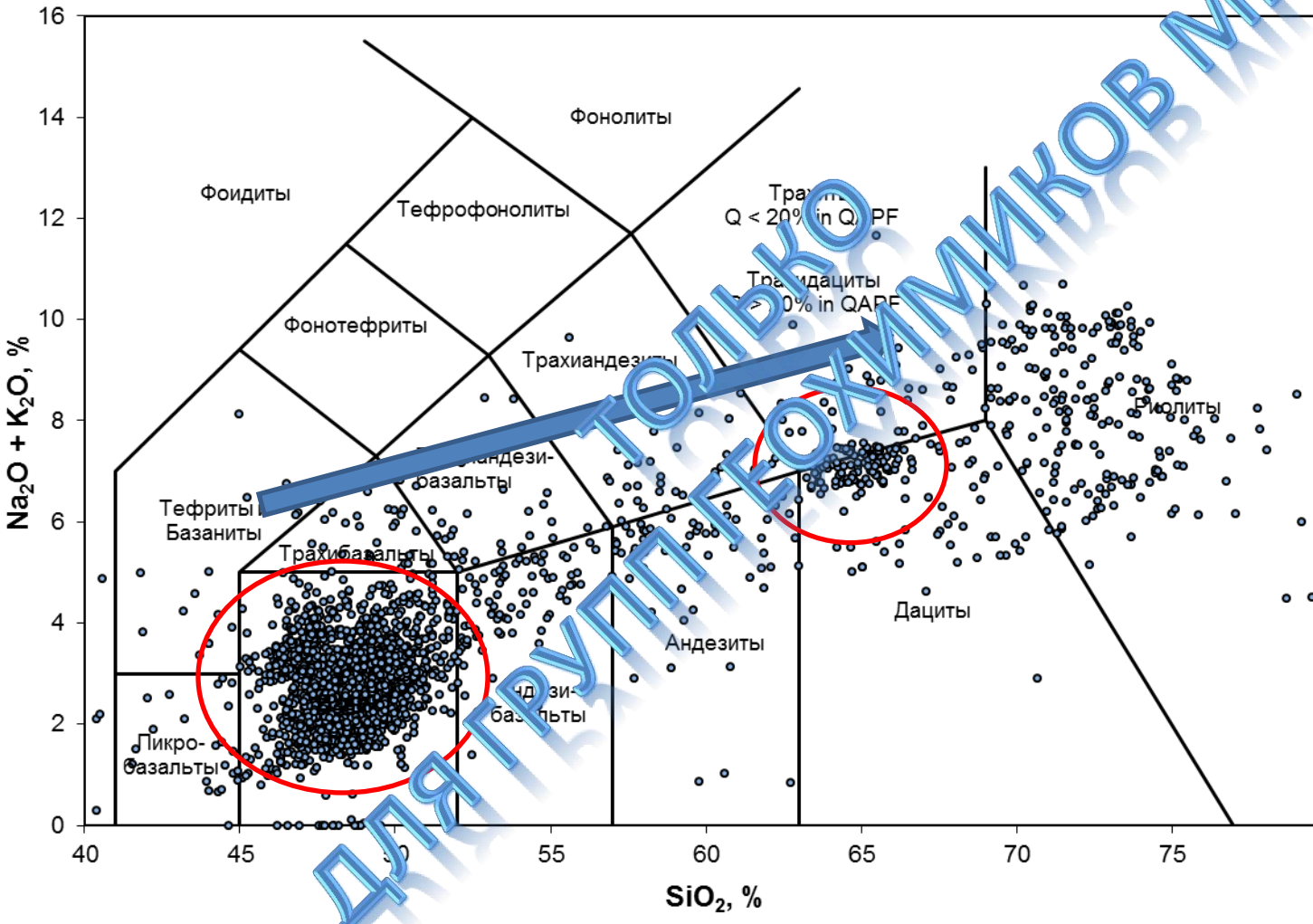
Figure 2

Причины разнообразия магматических пород

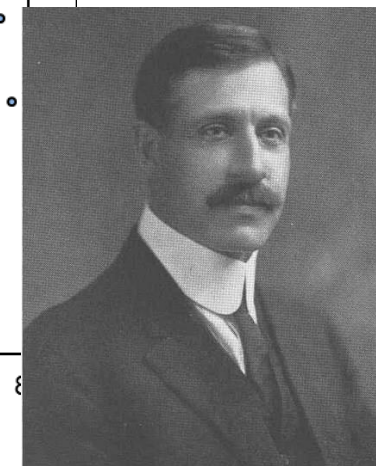


Составы магматических пород Исландии
(типичная толеитовая серия)

Феннер и Боуэн, Исландия, 1920-е годы



NORMAN L. BOWEN
(1887 - 1956)



Fenner Clarence Norman
(1870-1949)

Реакционный и непрерывный ряды Боуэна

Оливин
↓
Ортопироксен
↓
Клинопироксен
↓
Амфибол
↓
Биотит

Основной плагиоклаз

Средний плагиоклаз

Кислый плагиоклаз

Кальевый полевой шпат

Мусковит

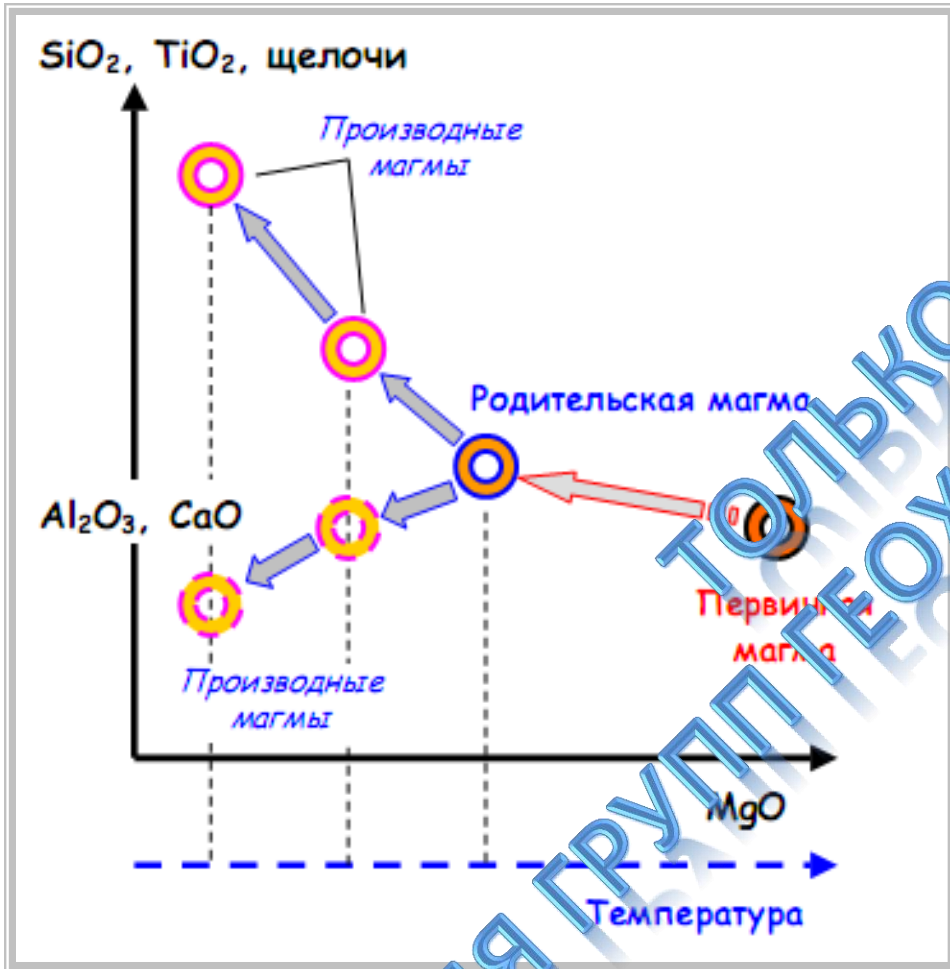
Кварц

Температура



NORMAN L. BOWEN
(1887 - 1956)

Первичная, родительская и производная магмы

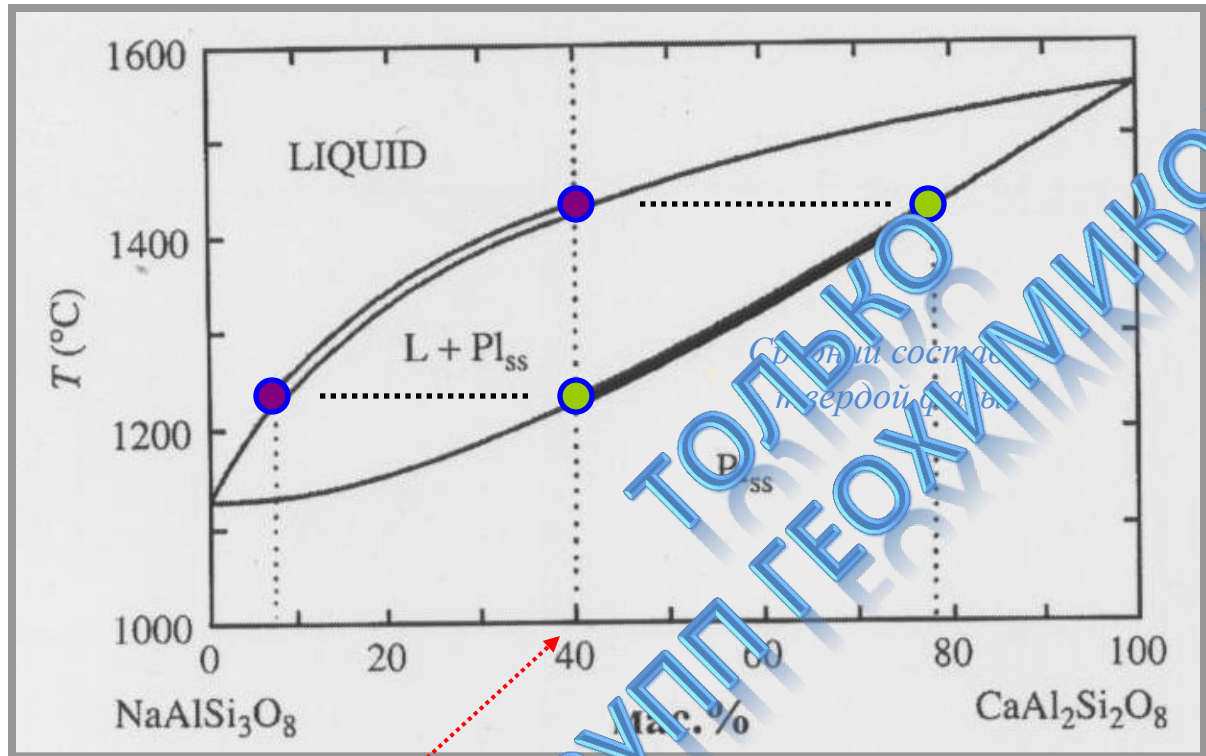


Исходной или родоначальной (*parental*) называется магма, при дифференции которой сформировалась данная серия или ассоциация магматических пород

Примитивные расплавы

Расплавы, формирующиеся непосредственно в зоне плавления мантийного вещества, называются первичной (*primary*) магмой

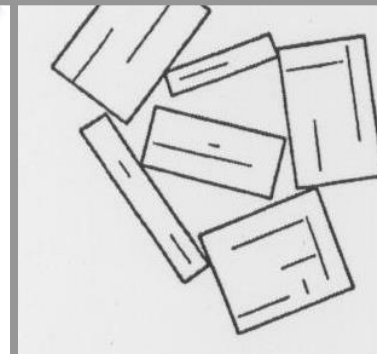
Равновесная кристаллизация в системе Ab-An



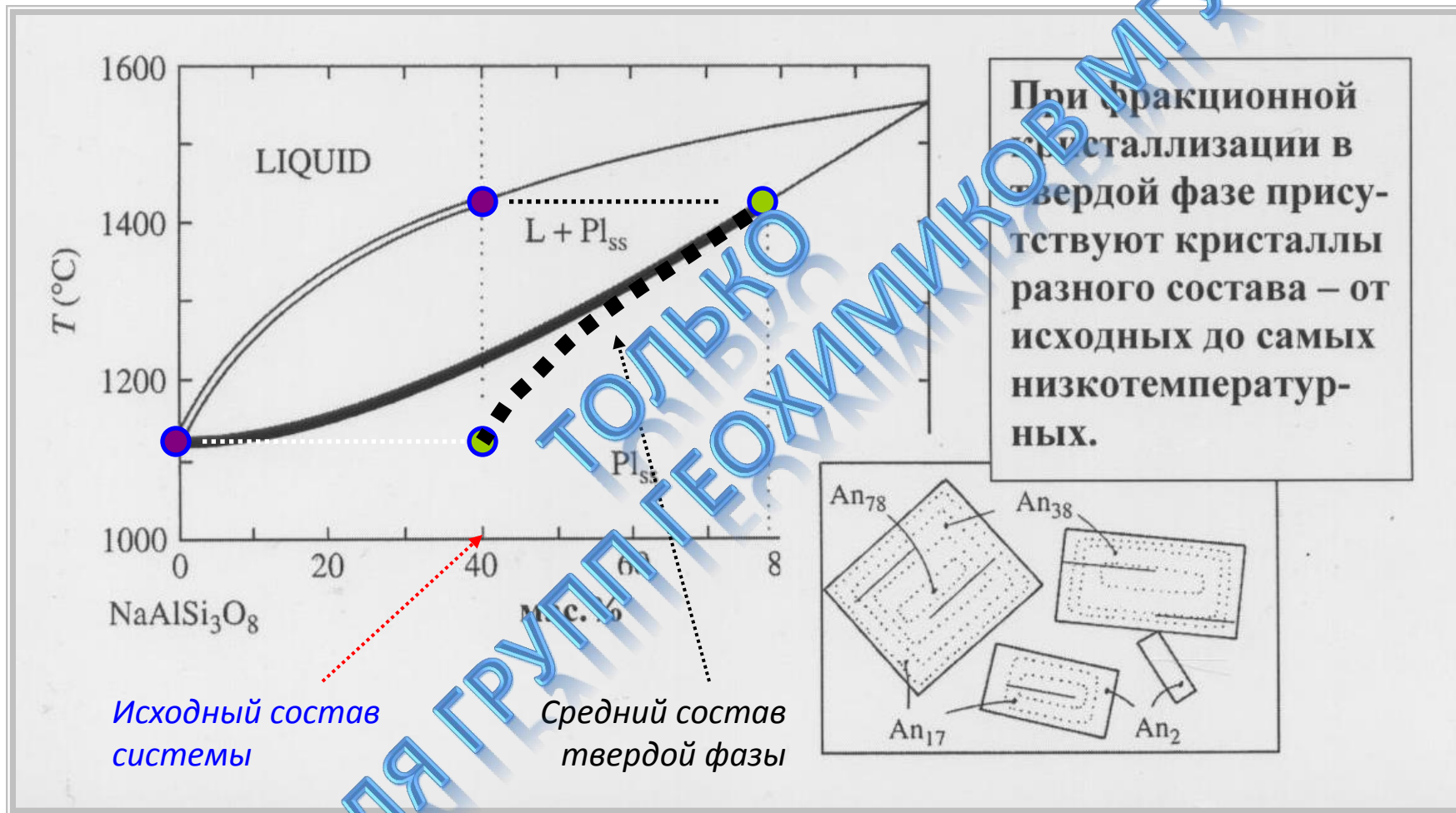
“Средний” состав Pl на каждой стадии кристаллизации **постоянный** и отвечает равновесию со всем объемом остаточного расплава

Исходный состав системы

В результате равновесной кристаллизации процесс завершается образованием однородных кристаллов (An40).

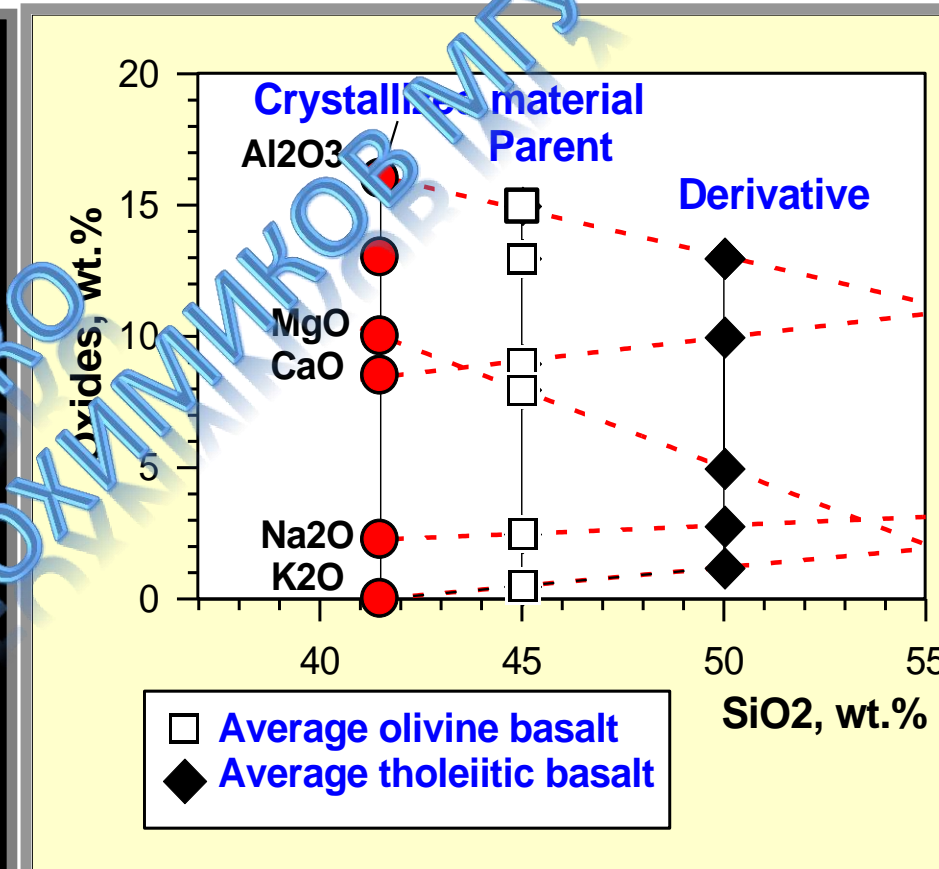
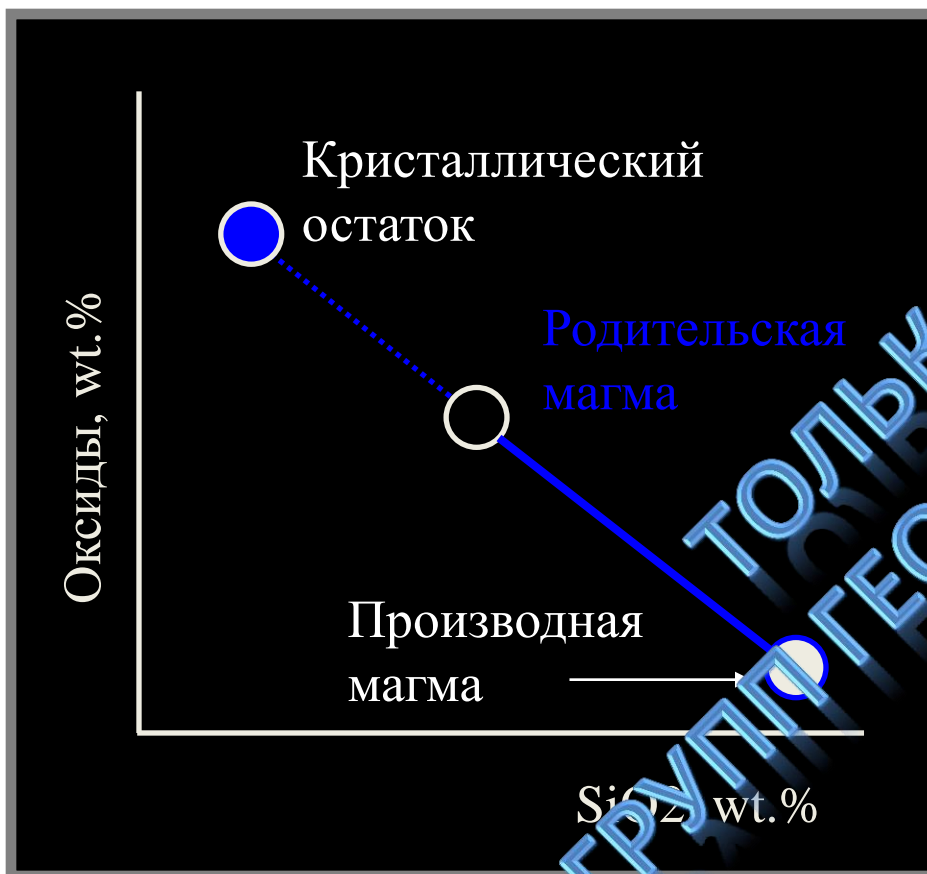


Фракционная кристаллизация в системе Ab-An



“Средний” состав раковы выделившегося *Pl* на разных стадиях кристаллизации разный, хотя состав (бесконечно малого количества) *Pl*, кристаллизующегося в данный момент и отвечает равновесию со всем объемом остаточного расплава

Диаграммы вычитания

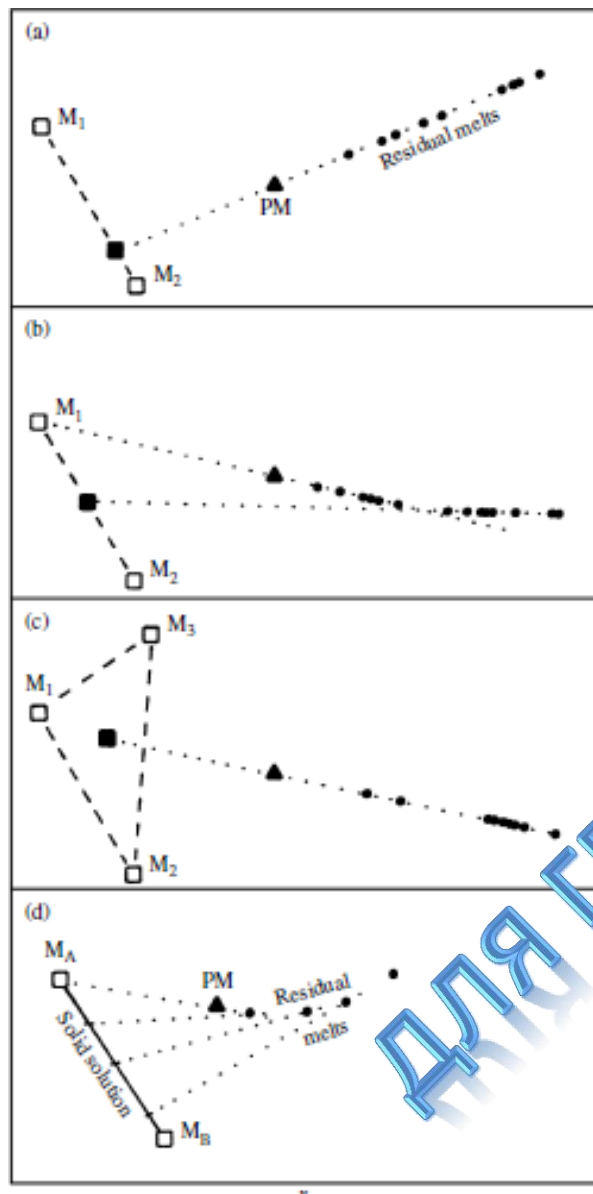


$$DM = PM - CR$$

Производный расплав = Родительский расплав - Кристаллический материал (удаленный)

$$(mineral X + mineral Y + mineral Z)$$

Диаграммы вычитания для нескольких минералов



	Базальт	Стекло
SiO ₂	50.1	66.5
TiO ₂	1.7	1.3
Al ₂ O ₃	14.3	13.9
FeO	10.4	1.9t
MgO	8.1	0.1
CaO	9.2	0.9
N ₂ O	3.1	3.3
K ₂ O	1.1	7.0
Total	99.0	94.9
<i>Q</i>	0.0	19.0
<i>Or</i>	6.5	41.2
<i>Ab</i>	26.2	27.7
<i>An</i>	21.5	2.4
<i>Di</i>	19.2	0.7
<i>Hy</i>	13.1	0.0
<i>Ol</i>	5.9	0.0
<i>Mt</i>	4.5	0.7
<i>Il</i>	3.2	2.4

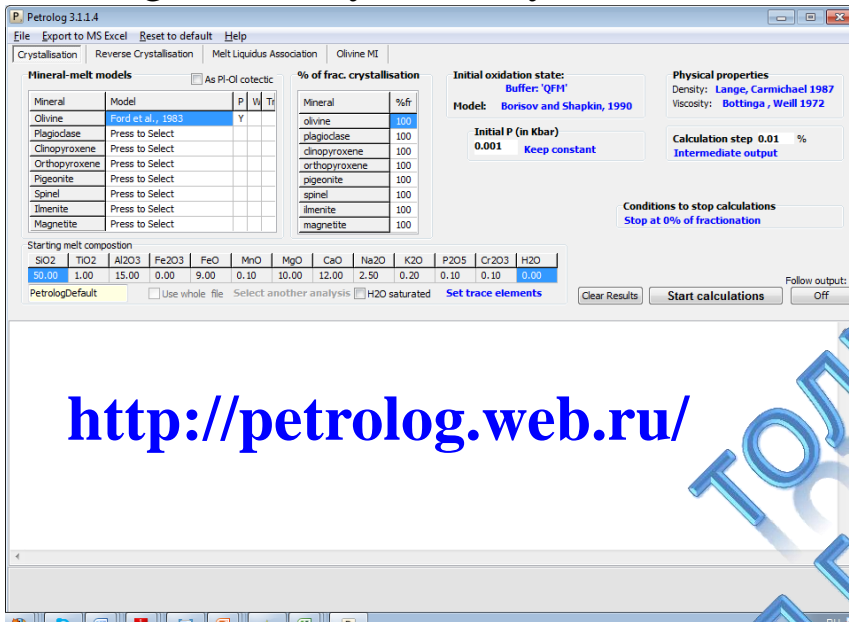
No Best, 2003

Santa Clara Lava Flow Near St. George, Utah

No Best, 2003

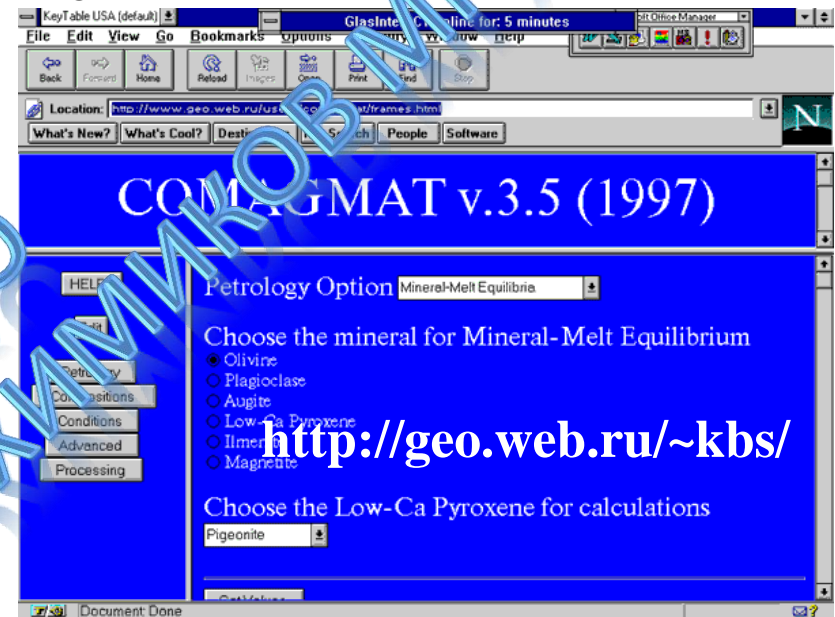
Программы для моделирования

Petrolog-III : Danyushevsky, Plechov, 2011



<http://petrolog.web.ru/>

Comagmat: Ariskin et al.



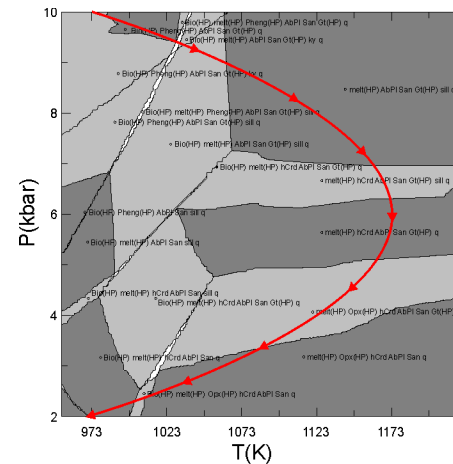
<http://geo.web.ru/~kbs/>

MELTS: Ghiorso, Sack, 1995



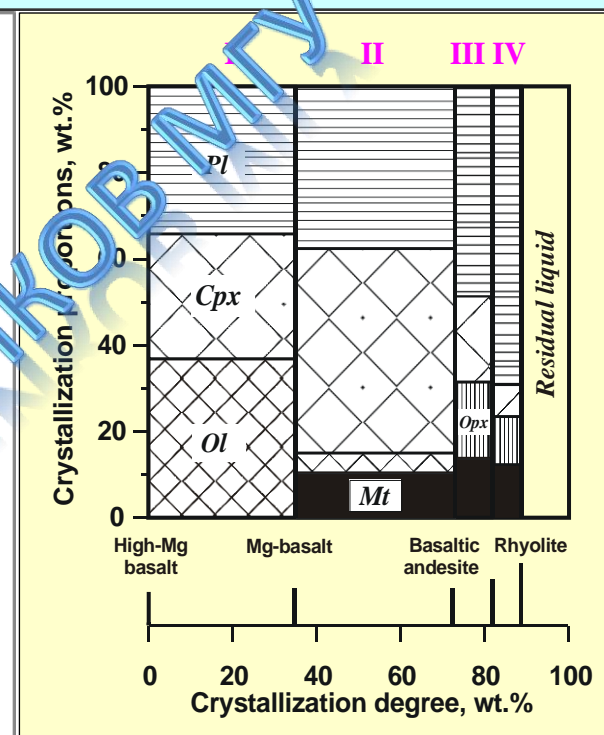
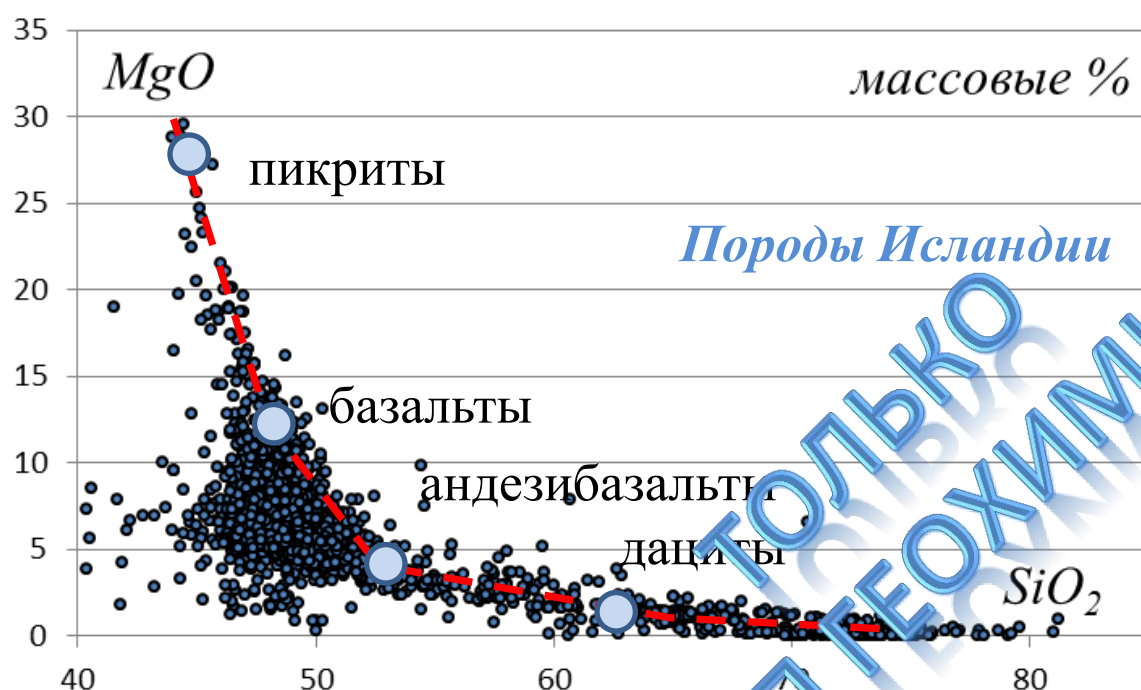
<http://melts.ofm-research.org/>

PerpleX: Connolly, 1994



<http://www.perplex.ethz.ch/>

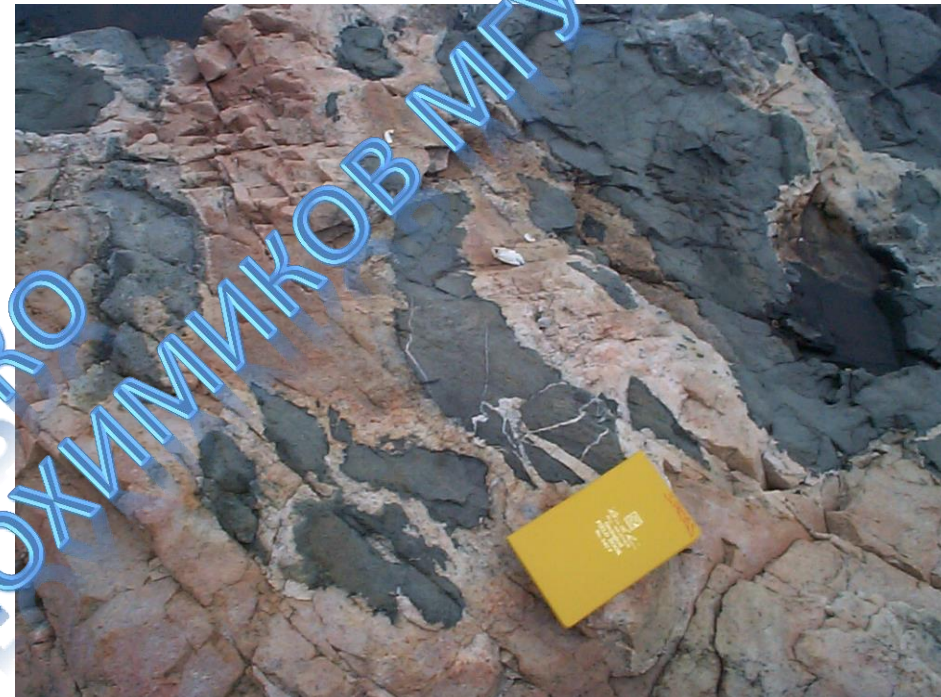
Типичные тренды дифференциации



Стадия	Родит. → Производ.	Минералы
I	Пикриты → Базальты	Ol + Pl + Cpx
II	Базальты → Андезибаз.	Ol + Pl + Cpx + Mt
III	Андезибаз. → Дациты	Pl + Cpx + Mt + Opx
IV	Дациты → Риолиты	Pl + Cpx + Mt + Opx

Идея фракционной кристаллизации:
Пикриты (или
пикробазальты)
являются
родительской магмой
для всей серии пород

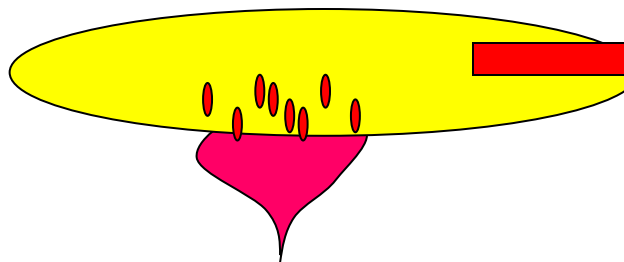
Физическое смешение магм (magma mingling)



Физическое смешение магм может происходить

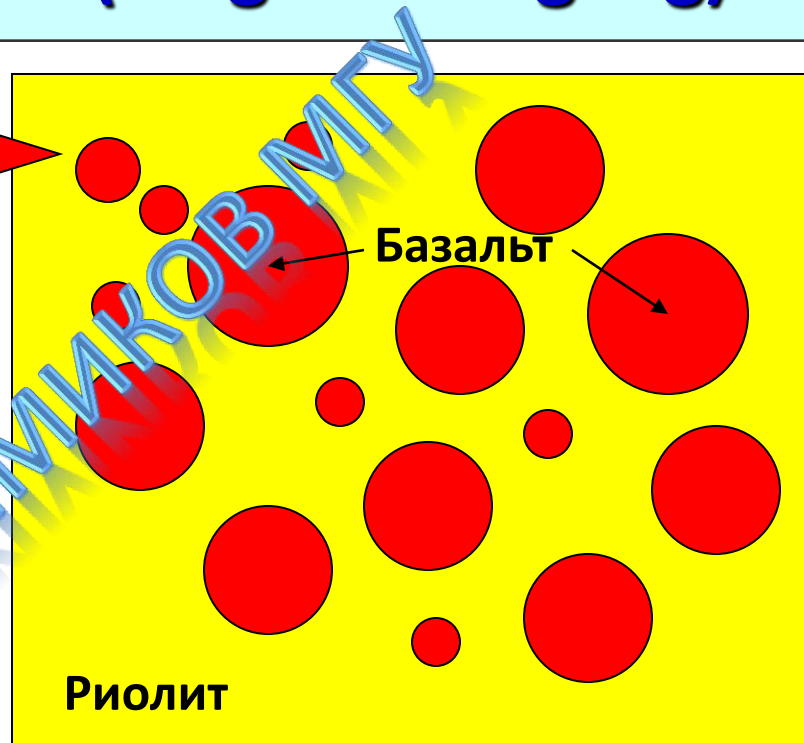
- 1) при внедрении даек в долгоживущие магматические очаги
- 2) при конвекции (например, в расслоенных интрузивах)
- 3) при подпитке очага новыми порциями магмы

Физическое смешение магм (magma mingling)



- Фрагментация на отдельные глобулы
- Кристаллизация, гомогенизация

ТОЛЬКО
ДЛЯ ГРУППЫ
ГЕОХИМИКИ

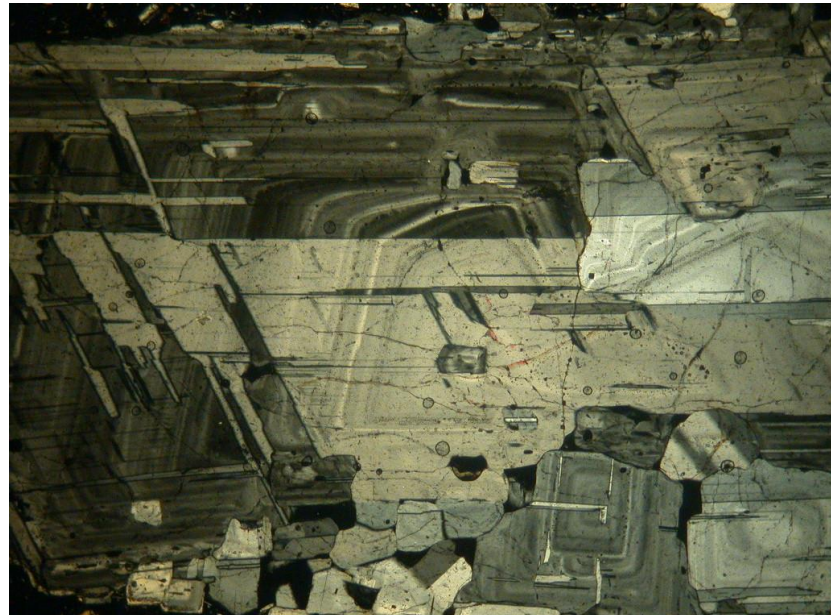
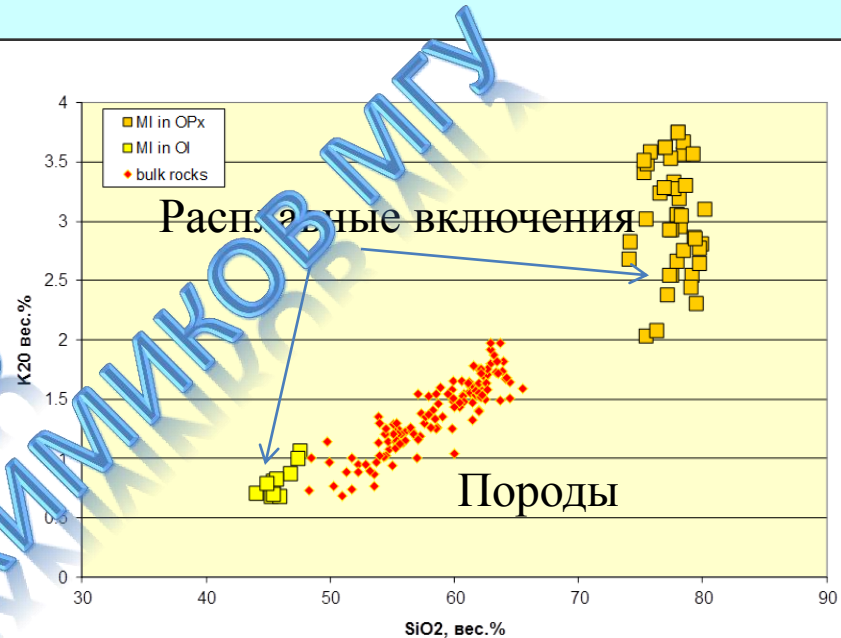
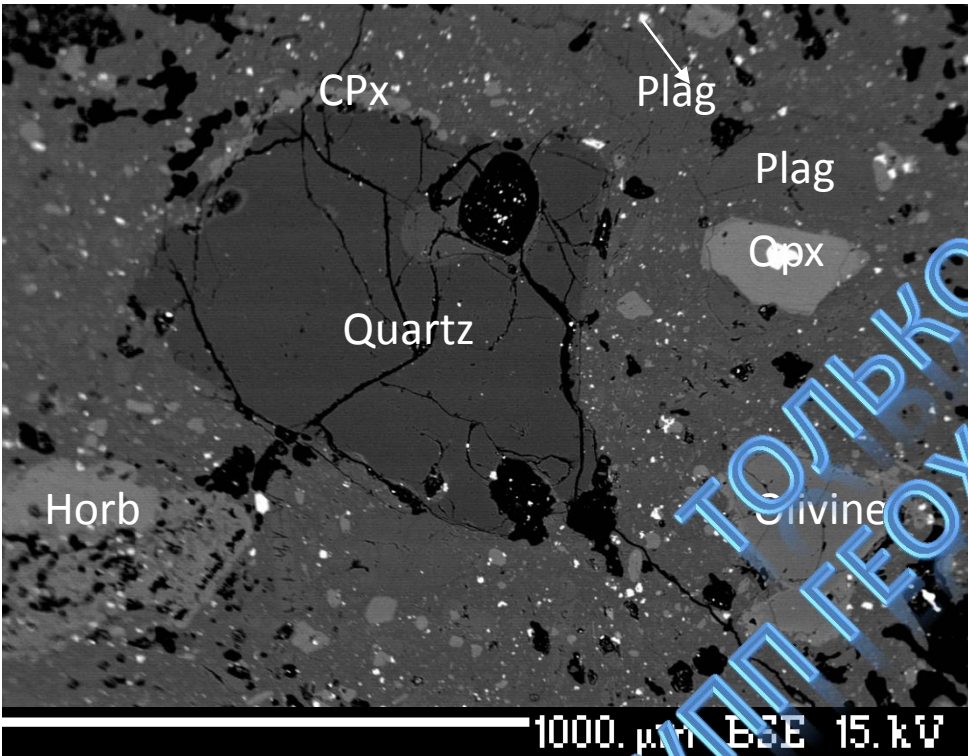


Физическое смешение магм хорошо распознается при контрасте температуры и состава смещающихся магм.

Более горячая магма остывает на контакте с более холодной и часто образует закалочные зоны, которые препятствуют дальнейшему смешению.

Churikova et al., 2002; Plechov et al., 2008

Петрологические признаки смешения



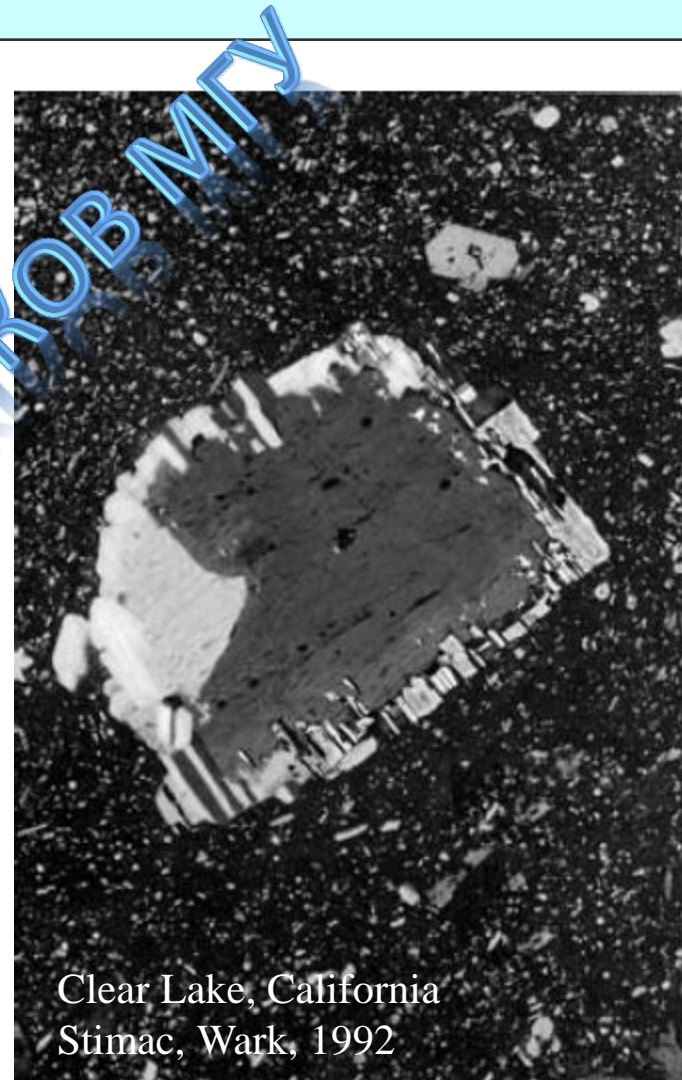
- 1) Контрастные ассоциации вкрапленников с реакционными взаимоотношениями
- 2) Контрастные составы расплавов
- 3) Сложная, ритмичная зональность вкрапленников

Петрологические признаки смешения

Deer island, Мэн (США)



Только
для групп геохимиков МГУ



Clear Lake, California
Stimac, Wark, 1992

Каймы плагиоклаза вокруг калиевого полевого шпата в гранитах рапакиви считаются признаком смешения с более основной, более горячей и менее флюидной магмой (Best, 2003)

Гибридные породы

Гибридные породы возникают при смешении двух или более магм (или значительном количестве ассимилированного материала).



Пепериты – гибридные породы, в которых не менее 20% чужеродного материала, попавшего в породу в результате смешения или ассимиляции. Раньше такие породы назывались магматическими брекчиями.

White, et. al. (2000)

Причины разнообразия магматических пород, предложенные >100 лет назад

Изложено по статье D.Young “Norman Levi Bowen (1887–1956) and igneous rock diversity”//Geological Society, London, Special Publications 2002; v. 192; p. 99-111

- **Смешение 2 первичных магм, базальтовой и риолитовой** (Бунзен, 1851)
- **Ассимиляция вмещающих пород и смешение магм** (Левинсон-Лессинг, 1899)
- **Ликвация (Durocher,1857, Rosenbusch,1889)**
- Многообразие эвтектик (Teall,1886,Vogt,1903)
- Существование разнообразных слоев магмы от кислых до основных (Вальтерхаузен,1853; Durocher,1857)
- Эффект Соре (термодиффузия) в крупных магматических очагах (Lagorio,1887; Teall,1888; Brögger,1890; Vogt,1891, Iddings,1892; Judd,1893)
- Эффект Гойи и Шаперона (гравитационное перераспределение в жидкости) - (Iddings,1892; Brögger,1894)
- **Фракционная кристаллизация** (Becker,1897; Левинсон-Лессинг, 1899; Боэн, 1913)

Франц Юльевич Левинсон-Лессинг (1861-1939) предложил для объяснения разнообразия пород комплексную модель ассимиляции, повторного плавления, дифференциации и многообразия эвтектик, наиболее прогрессивную на то время.

Основные типы дифференциации

Закрытая система

Отделение кристаллов и расплава

Гравитационное осаждение

Сепарация в потоке

Фильтр-прессинг

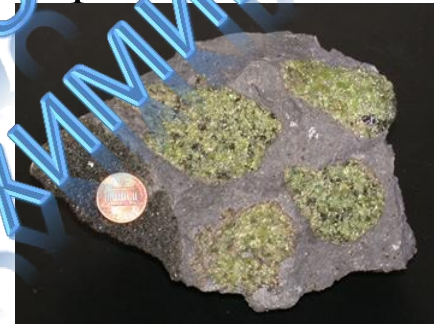
Отделение 2-х расплавов (ликвация)

Отделение флюида и расплава

Открытая система

Ассимиляция

захват магмой кусочков вмещающих пород изначально в твердом состоянии



Смешение двух или более контрастных магм

